

## (B-1) 水中におかれたゲートの振動解析

(周波数解析について)

東京大学工学部

鳴 裕 之

東京大学大学院

萩 原 国 宏

### 1. はしがき

我々は以前にパイプの中に設置されたリンクボローウ  
ーゲートの振動について実験を行い、振動の振巾、動的  
Down Pull等についてレポートとして表わした。<sup>(1)</sup>

今回はその時に扱かわなかった周波数に対する解析を  
ランダムな扱いにより解析を行ってみた。実験装置の内  
ゲートリーフの部分が図-1に示されている。流れによ  
つてゲートに生ずる振動変位は図-3, 4, 5, 6, 7, 8に示され  
る様にかなりランダムな振動をしている。今回は、後述  
のWave Analyzer(波形解析機)を使用して、上記の  
振動記録より自己相関を求め、又パワースペクトルにつ  
いては、この自己相関の値より本学計算センターの電子  
計算機OKITAC 5090により求めたものである。

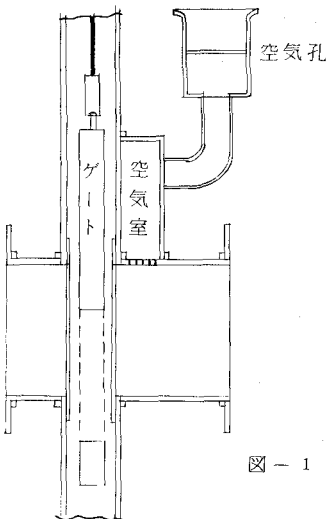


図-1

### 2. 自己相関関数、パワースペクトル、相関器について

パワースペクトルと自己相関関数の関係については、ウィーナー、キンチン(Wiener Khintchin)の関係式として知られており、それらはフーリエ変換の対として示されている。いまランダムな時間  
関数  $x(t)$  があって、例えば

$$M \frac{d^2}{dt^2} x(t) + R \frac{d}{dt} x(t) + kx(t) \pm F = P(t), \text{ 又は } M \frac{d^2}{dt^2} x(t) + R \frac{d}{dt} x(t) + kx(t) = P(t) \mp F(t) \quad (1)$$

の  $x(t)$ ,  $P(t)$  のような関数であるとする。その  $t=-T$  より  $t=T$  までをとって  $x_T(t)$  とおくと、自己  
相関関数  $\psi_T(\tau)$  は

$$\psi_T(\tau) = \frac{1}{2T} \int_{-T}^T x(t)x(t+\tau) dt \quad (T \rightarrow \infty) \quad (2)$$

で定義される。パワースペクトル  $w(f)$  は次のようになる。

$$w(f) = 4 \int_0^\infty \psi(\tau) \cos w\tau d\tau, \quad w = 2\pi f \quad (3)$$

$$\psi(\tau) = \int_0^\infty w(f) \cos w\tau df \quad (3)$$

上の(2), (3)式がWiener-Khintchineの公式といわれるものである。尚(1), (3)式で  $\tau = 0$  の場合には

$$(4) \text{式の} \psi(0) = \frac{1}{2T} \int_{-T}^T x(f) \cdot x(f) dt = \int_0^\infty w(f) df = \rho \quad (4)$$

これは、2乗平均又は平均パワーを表わす。又(1)において  $x(f)$  が周期函数であるときには  $\psi(\tau)$  も同一の周期をもつ周期関数になる事が知られている。

さて我々の振動記録はオッショルーパーに記録したものであるから、

それらの波を相関器に録音しなければならない。そのために東芝製の読み取り装置を用いた。以下に相関器と読み取り装置の性能等について概略を紹介する。

(8) 相関器はアナログ形の相関器で東芝製の波形処理装置 TA-3868A の中にその一部として繰込まれている。それは積分器電子管式、磁気テープ機構部よりなっている。磁気テープ機構部は読み取り装置よりの波形をエンドレス録音テープに 2つのチャンネルに同時録音し、再生を開始する場所を 1ステップずつ順繕りにずらせる事が出来るようになっている。

記録時間は約 4.5 秒 (テープスピード 9.5 mm/sec) 再生時にはテープスピードは 38.0 mm/sec で行う。ずらし時間は、0.05 sec で 100 ステップのずらしが可能である。磁気テープよりの再生電圧を掛算器、積分器を通して、(1)式の積分の部分を求め、その値を Varicorder (商品名) によってグラフとして求められる。その記録紙の一例を図-2 に示しておく。その出力は掛け算器で  $50V \times 50V = 50V$  として出てくるので、実際の 50 分の 1 となっている。尚積分時間 T は、4.5 秒間録音したのを 380 mm/sec で再生するために、11.25 秒となっている。従って自己相関関数  $\psi(\tau)$ 、パワースペクトルと共に計算器よりの出力に  $50/11.25$  を掛ける必要がある。読み取り装置は 2つの読み取りヘッドがあり、相互相関の計算にも使用出来る様になっている。読み取り速度は、1 mm/sec, 2.5 mm/sec, 5 mm/sec 10 mm/sec に変えられる。又出力電位も full scale を 100 V, 50 V, 20 V, 10 V と変えられるようになっている。

### 3. データー及び相関関数について

データーとしては gate 開度 1, 2, 3 ~ 12, orifice 開度 1 ~ 5 の組合せがあるが、gate 開度の小さい所 1, 2, 3, 4 等は振動が非常に小さいので、読み取り装置の感度等を考慮して取り扱わなかった。ここで解析をしたのは表-1 の通りである。

gate ratio	2	3	4	5	6	7	8	9	10	11	12
移動距離	0	5	12	22	32	45	58	73	88	104	120

表 - 2

尚 gate ratio は全開を 12 cm として表-2 のようになっている。又 orifice opening については、それぞれ直径 0, 1.1, 1.5, 2.4, 3.2 cm の空気孔が orifice opening 1, 2, 3, 4, 5 に相当する。

表 - 1

orifice opening	ゲート開度
1	4, 5, 6, 7, 8, 9, 10, 11
2	7, 8, 9, 10, 11
3	8, 9, 10, 11
4	8, 9, 10, 11
5	9, 10, 11

以下に代表的な例を示すこととする。読み込み速度は、2.5 mm/sec, 1 mm/sec, 5 mm/sec について、試みたが、我々の持っている振動記録に対して 5 mm/sec 以上での読み取りではより忠実な結果

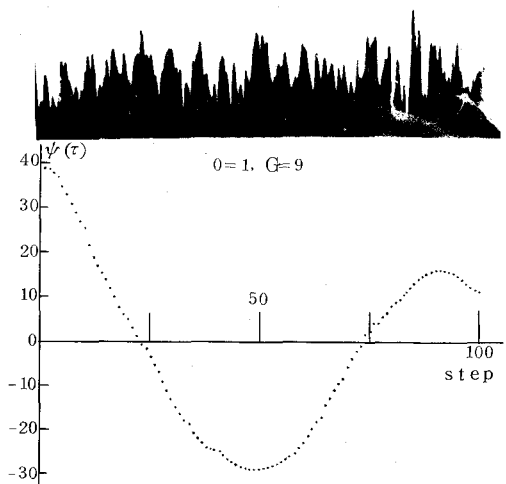


図- 3

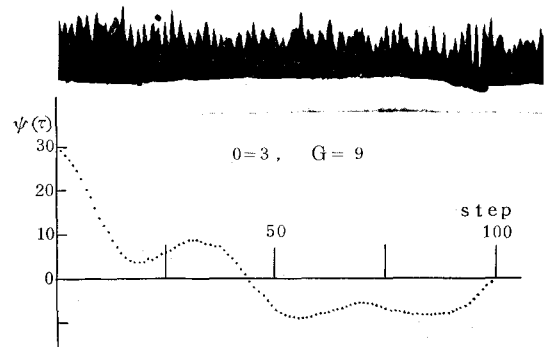


図- 4

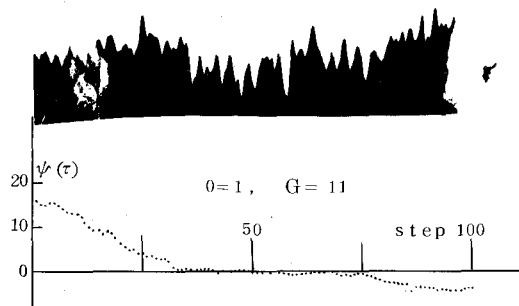


図- 5

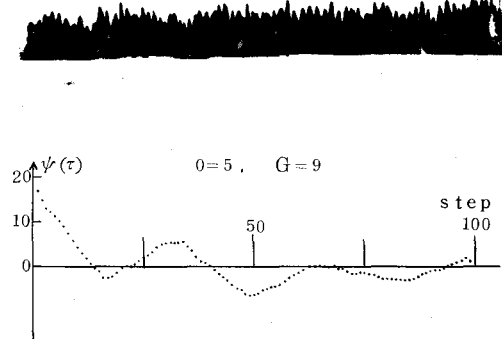


図- 6

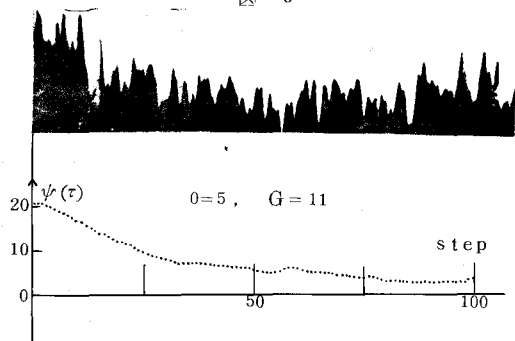


図- 7

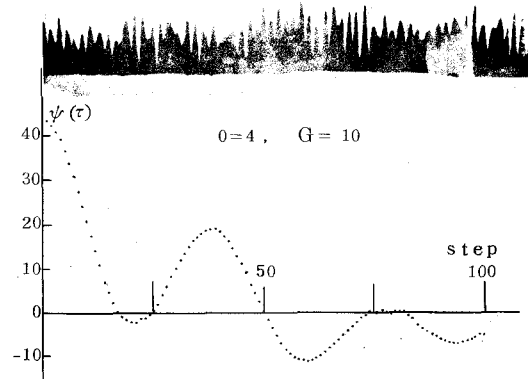


図- 8

を期待出来ないので（変動の大きい所では山をとびこしてしまう）こゝでは、 $2.5 \text{ mm/sec}$ のものについて示す。尚振動記録は、 $30 \text{ cm/sec}$ で記録してあるから、自己相関を計算する時の実際現象でのずらし時間（1ステップ）は、 $0.05 \times 0.25 / 30 = 0.000416 \text{ sec}$ である。

以上の図でのGはgate ratio, Oはorifice openingを示す。

これらの自己相関の値は、自己相関器よりの出力として、記録装置(varicorder)に表われたVを示している。従って、実際値はこれに  $50/11.25$  を掛ける必要があり、更に実際の現象での値を求めるためには、換算係数を掛ける必要がある。

#### (イ) orifice opening の影響について

図-3, 4, 6を比べてみると同一の gate ratio 9で空気孔により、空気の流入のある時とない時でかなり異っている事がわかる。即ち orifice opening 1 に比べて orifice opening 3, 5 では高周期の波が入っているのではないかと考えられる。

#### (ロ) gate ratioについて

gate ratio 11 に相当する図-5, 7 と他のを比べてみると、他の場合ほど明確な波が自己相関に表われていない。振動記録をみてもわかるように振動の中立軸と思われるものが変動している。これはもっと長周期の変動があるとも考えられ、そのためには、この相関器の録音テープの長さ、読み取り装置の性能で gate ratio 11 に対して不十分と考えられる。

#### 4. 自己相関関数について

3.で示したような自己相関の結果よりその卓越周期を見い出す事を試みた。即ち  $\tau = 0$  の時を最大として、次に表われる最小点までを卓越周期の半波長とし又  $\tau = 0$  より次の最大点までを卓越周期の一周期と見て、その卓越周波数を求めた。各 gate ratio 及び orifice opening について整理して図示すれば図-9のごとくなる。前記 3.の(イ)で述べた如く、 orifice opening 1 では gate ratio の全体にわたって、ほぼ 23 ~ 25 cycle の値を示している。これは前記レポートで書いた如く、この振動系の固有振動数 (23.7 cycle) がこれに近い値であったことを考えに入れれば、特に振動外力  $P(t)$  の内この振動数に近いものが顕著に  $x(t)$  へ表われていることも考えられる。

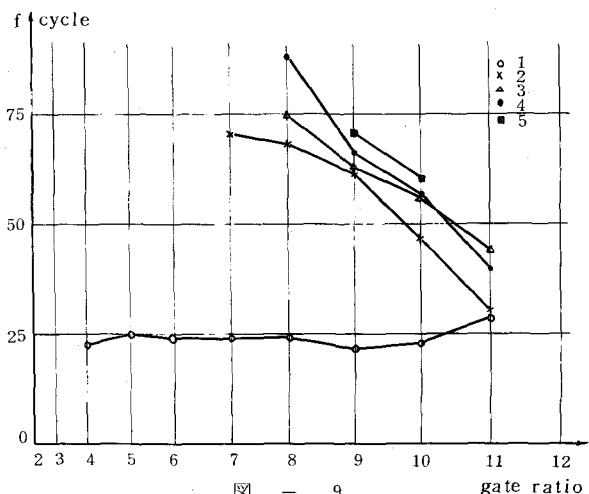


図 - 9

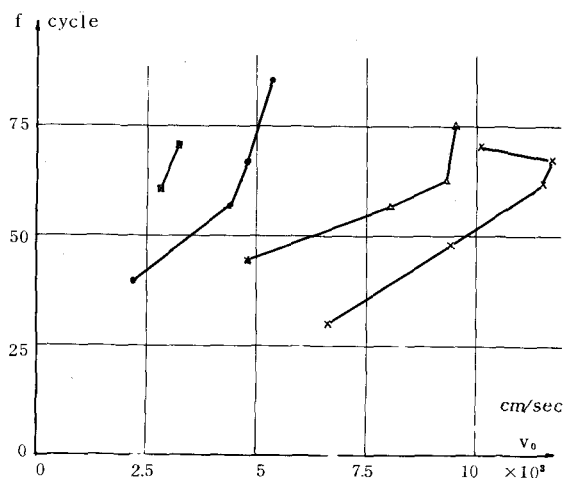


図 - 10

又 orifice opening が 2, 3, 4, 5 の時、即ち空気孔より空気が流入する時にはより高い振動が表

orifice opening	$fd_0/v_0$
2	$5.8 \times 10^{-3}$
3	11.8
4	36.9
5	69.0

表-3

われている。そしてそれは gate ratio が増加するに従って振動数が減少して来ている。空気孔を開いた場合 orifice opening 2, 3, 4, 5 について空気流入速度  $V_0$  と振動数  $f$  との関係について、空気孔開度の直径  $d_0$  をとって無次元  $fd_0/v_0$  を計算してみると各 orifice opening では々一定値を示している。それらの値の平均は表-3 のようになっている。

## 5. パワースペクトル

3.で示したような自己相関の値を使ってパワースペクトルを求めてみた。この値は、東大計算センターの OKITA 5090 によって行い、プログラムは ALGOL によって (2)式の値を求めるものである。そのプログラムは、こゝでは省略するが自己相関関数の値をグラフにより 100 ステップ読み取り、それらについて  $f$  を 100 cycle までかえって、パワースペクトルを求めた。現在までに計算出来ている 2, 3 のものについて示すと以下の如くなる。

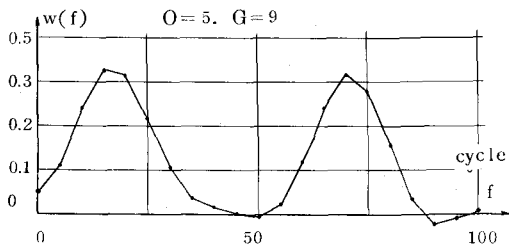
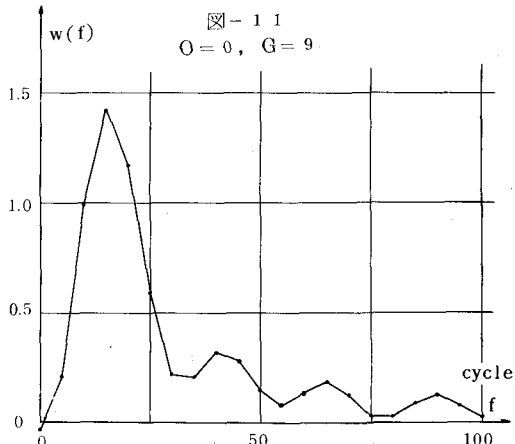
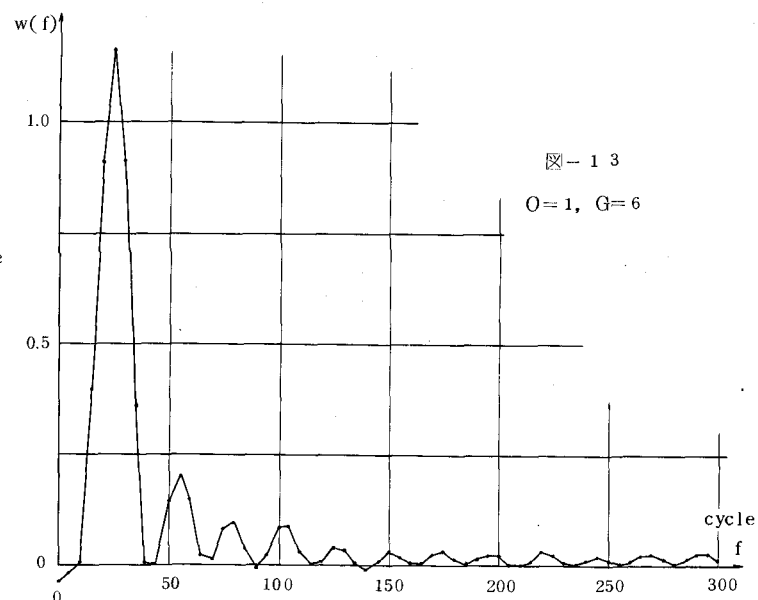


図-12

図-11, 図-12 の両図を見ると、図-11の方には、大きな山が一つでそれが  $f = 20$  cycle の辺にあるが、図-12の方では、二つの大きな山が出ていて、一つは、 $f = 20$  cycle もう一つは  $f = 70$  cycle の所で表われている。(4)によつて求めた卓越周波数は orifice 1 以外の場合についてはこの高い方のものに相当することがわかる。しかしパワースペクトルによれば、固有振動に近い所の振動もかなり含まれていることがわか

図-11  
O=0, G=9

る。尚図-13、図-14 はもつ  $w(f)$

と高い周波数(300 cycle)

の所まで計算した結果である。

両図を見てもわかるごとく

100 cycle 以上での卓越周

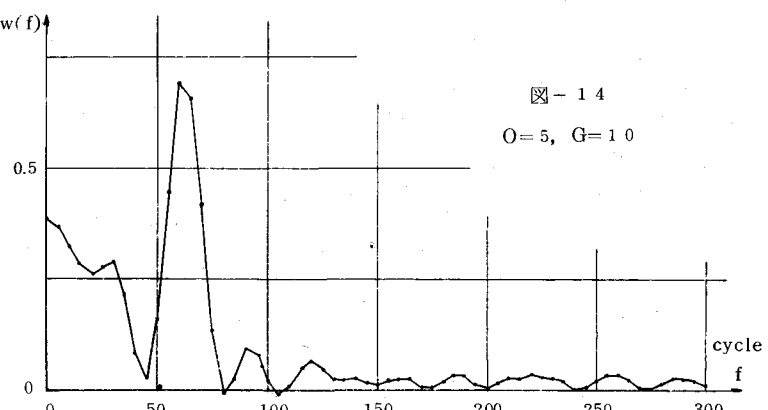
波数は、余り多くはなく、ほ

ぼ 25 cycle くらいの間隔で

山が表われている。これは固

有振動数の高調波が表われて

来ていると考えられる。



このレポートを書く段階では全部のパワースペクトルを求めていないのでこれ以上の事は言えないが、講演時には、更に追加する予定です。

最後に、これらの計算をまとめるに当り、東大水理研究室の椎貝博美氏の御指導を受けたことと、自己相関を計算する時に波形処理室の野田澄子さんの御世話になったことについて、両氏に感謝致します。

#### 参考文献

(1) 土木学会年次学術講演会第17回「高圧ゲートの振動特性に関する研究」 鳴 祐之

I.A.H.R. Congress, London 1963 Masashi Homma, Sukeyuki Shima

'Model Experiment on dynamic behavior of Ring Follower gate.'

土木学会年次学術講演会第18回「リングホローゲートの振動特性に関する実験」

鳴 祐之, 萩原国宏

(2) 「技術者の数学 1」共立出版 P.160

'Random Vibration' Volume 2 The M.I.T Dress p.8 ~ 10